

# Sprawozdanie

## Model Taylora – metody jawna oraz niejawna

Amadeusz Filipek

Laboratorium komputerowe WFiS AGH

### 1. Wstęp

Celem ćwiczenia jest wykonanie symulacji przepływu znacznika w rzece przy wykorzystaniu adwekcyjno dyspersyjnego równania transportu za pomocą dwóch metod: jawnej QUICKEST oraz niejawnej Cranka-Nicolsona.

Równanie adwekcyjno dyspersyjne transportu w modelu Taylora wyraża zmianę stężenia  $c$  znacznika w czasie oraz przestrzeni:

$$\frac{\partial c}{\partial t} + U \frac{\partial c}{\partial x} - D \frac{\partial^2 c}{\partial x^2} = 0$$

gdzie  $U$  jest średnią prędkością przepływu a  $D$  współczynnikiem dyspersji.

Rozpatrywanym w ćwiczeniu obiektem jest kanał o długości  $L = 100 \text{ m}$ , szerokości  $W = 5 \text{ m}$  oraz głębokości  $H = 1 \text{ m}$ . Ze względu na geometrię obiektu, rozkład stężenia znacznika rozpatrujemy w jednym wymiarze przestrzennym wzdłuż długości kanału.

Pierwszą analizowaną metodą rozwiązania numerycznego równania transportu znacznika jest metoda jawna QUICKEST, która pozwala wyznaczyć wartość stężenia znacznika w danym punkcie węzłowym w kolejnym kroku czasowym na podstawie czterech punktów w kroku poprzednim:

$$c_j^{n+1} = c_j^n + \left[ C_d(1 - C_a) - \frac{C_a}{6}(C_a^2 - 3C_a + 2) \right] c_{j+1}^n - \left[ C_d(2 - 3C_a) - \frac{C_a}{2}(C_a^2 - 2C_a - 1) \right] c_j^n + \left[ C_d(1 - 3C_a) - \frac{C_a}{2}(C_a^2 - C_a - 2) \right] c_{j-1}^n + \left[ C_d C_d + \frac{C_a}{6}(C_a^2 - 1) \right] c_{j-2}^n$$

gdzie  $C_a = \frac{U \Delta t}{\Delta x}$   $C_d = \frac{D \Delta t}{\Delta x^2}$

stanowią adwekcyjną oraz dyspersyjną liczbę Couranta.

Drugą analizowaną metodą jest niejawna metoda Cranka-Nicolsona, która pozwala wyznaczyć wartość stężenia znacznika w danym punkcie węzłowym w następnym kroku czasowym na podstawie trzech punktów w kroku poprzednim oraz punktów sąsiednich w następnym kroku. Rozwiązanie jest zatem uwikłane, należy bowiem znaleźć wszystkie wartości stężenia w następnym kroku czasowym jednocześnie. Rozwiązanie jest zatem układem  $Nx$  równań i w postaci macierzowej wygląda następująco:

$$c^{n+1} = A^{-1} \cdot B \cdot c^n$$

gdzie macierze A oraz B mają postać:

$$A = \begin{pmatrix} 1 + C_d & -\frac{C_d}{2} + \frac{C_a}{4} & 0 & \dots & 0 \\ -\frac{C_d}{2} - \frac{C_a}{4} & 1 + C_d & -\frac{C_d}{2} + \frac{C_a}{4} & 0 & \vdots \\ 0 & -\frac{C_d}{2} - \frac{C_a}{4} & 1 + C_d & -\frac{C_d}{2} + \frac{C_a}{4} & 0 \\ \vdots & 0 & -\frac{C_d}{2} - \frac{C_a}{4} & \ddots & -\frac{C_d}{2} + \frac{C_a}{4} \\ 0 & \dots & 0 & -\frac{C_d}{2} - \frac{C_a}{4} & 1 + C_d \end{pmatrix} \quad B = \begin{pmatrix} 1 + C_d & \frac{C_d}{2} - \frac{C_a}{4} & 0 & \dots & 0 \\ \frac{C_d}{2} + \frac{C_a}{4} & 1 + C_d & \frac{C_d}{2} - \frac{C_a}{4} & 0 & \vdots \\ 0 & \frac{C_d}{2} + \frac{C_a}{4} & 1 + C_d & \frac{C_d}{2} - \frac{C_a}{4} & 0 \\ \vdots & 0 & \frac{C_d}{2} + \frac{C_a}{4} & \ddots & \frac{C_d}{2} - \frac{C_a}{4} \\ 0 & \dots & 0 & \frac{C_d}{2} + \frac{C_a}{4} & 1 + C_d \end{pmatrix}$$

Niezależnie od metody na równania trzeba nałożyć warunki początkowe oraz brzegowe. Warunki brzegowe dla rozpatrywanego kanału przyjmujemy w sposób następujący:

- warunek Dirichleta dla lewego brzegu

$$c(0, t) = 0$$

- warunek von Neumanna dla brzegu prawego

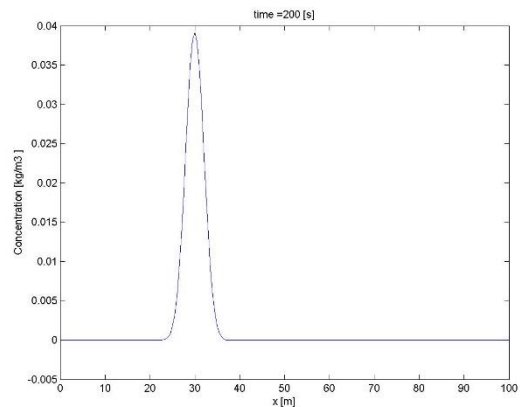
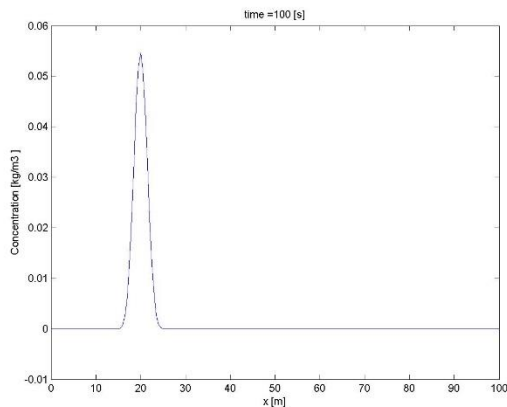
$$\frac{\partial c}{\partial x}(L, t) = 0.$$

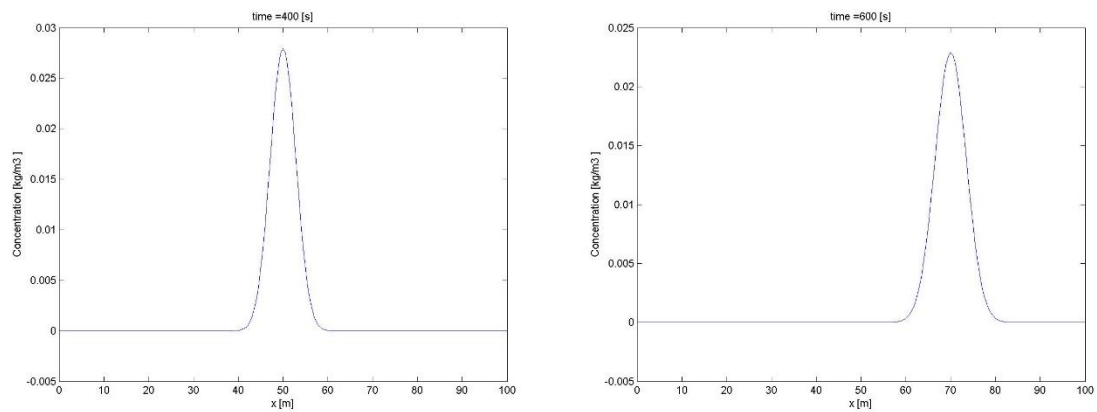
## 2. Ewolucja czasowa stężenia znacznika

Pierwszą symulację przeprowadziłem przy punktowym warunku początkowym:

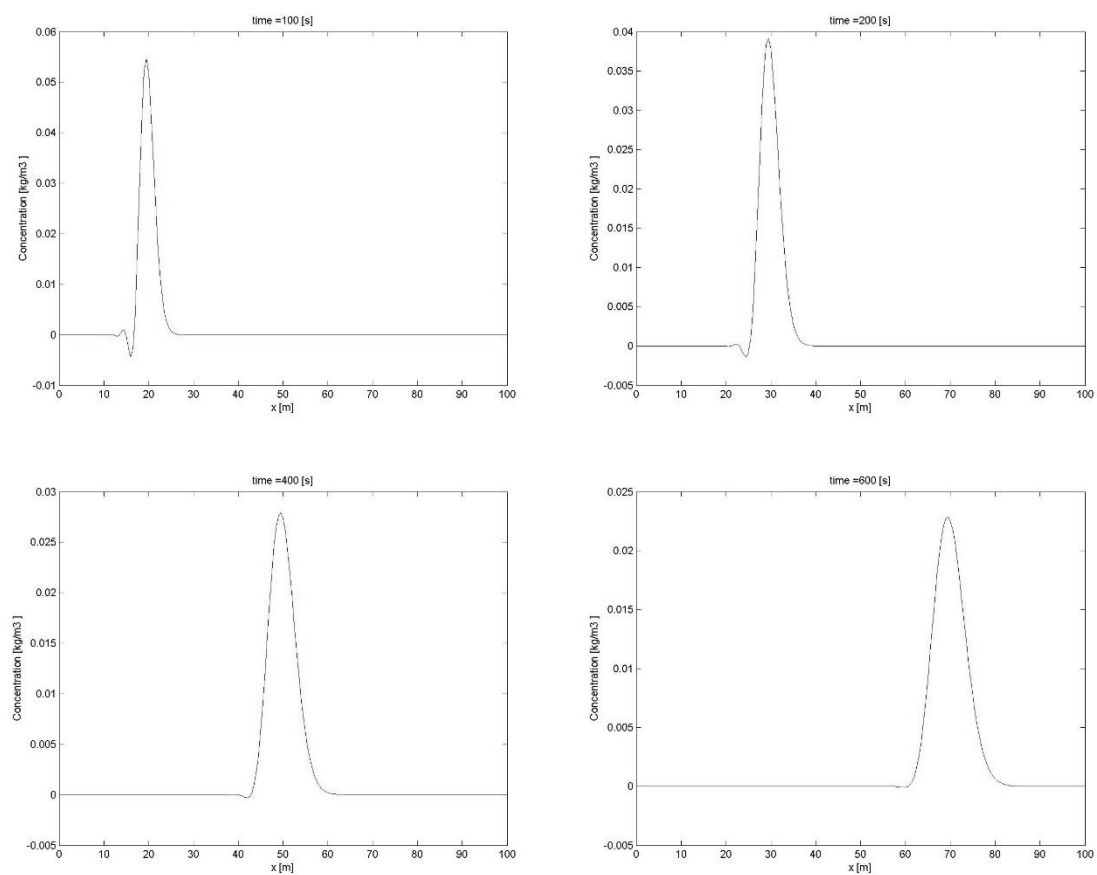
$$c(x, 0) = \begin{cases} C_1 & \text{dla } x = 10 \text{ m} \\ 0 & \text{dla } x \neq 10 \text{ m} \end{cases}$$

Analizowany obszar podzieliłem na  $Nx = 201$  węzłów odległych o  $dx = 0,5 \text{ m}$ . Krok czasowy przyjąłem równy  $dt = 1 \text{ s}$ . Wprowadzone stężenie  $C_1$  ma wartość odpowiadającą wprowadzeniu masy  $m = 1 \text{ kg}$  znacznika. Uzyskane symulacje ewolucji stężenia znacznika przy użyciu obu metod dla wybranych punktów czasowych zostały przedstawione poniżej:





Wykres 1. Rozkład stężenia znacznika w kanale dla wybranych punktów czasowych uzyskany metodą QUICKEST



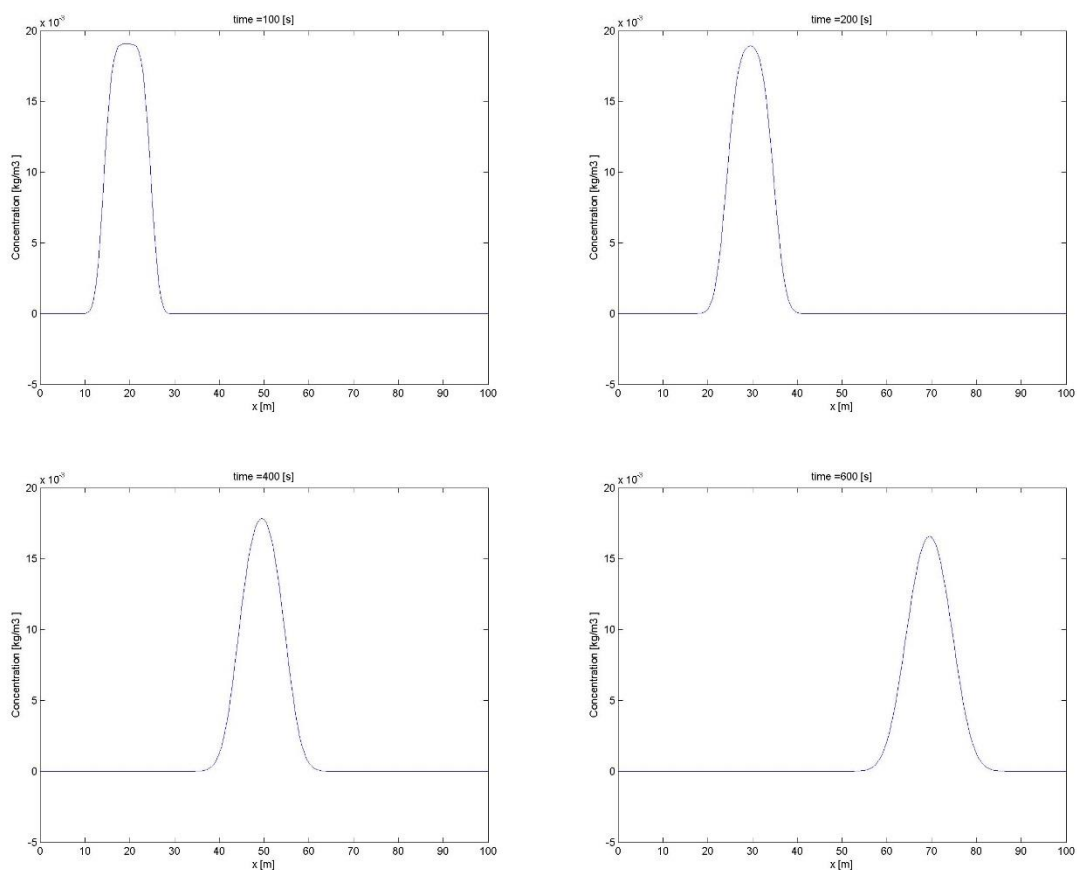
Wykres 2. Rozkład stężenia znacznika w kanale dla wybranych punktów czasowych uzyskany metodą Cranka-Nicolsona

Wyniki uzyskane niezależnie oboma metodami są zgodne. Rozkład znacznika wraz z biegiem czasu przesuwa się w prawo oraz rozptyla się wszerek. Wynik uzyskany metodą Cranka-Nicolsona posiada niewielkie oscylacje na końcu lewego zbocza rozkładu, które z biegiem czasu symulacji zanikają. Zwiększenie dokładności symulacji poprzez zmniejszenie wartości  $dx$  i  $dt$  eliminuje powyższe oscylacje.

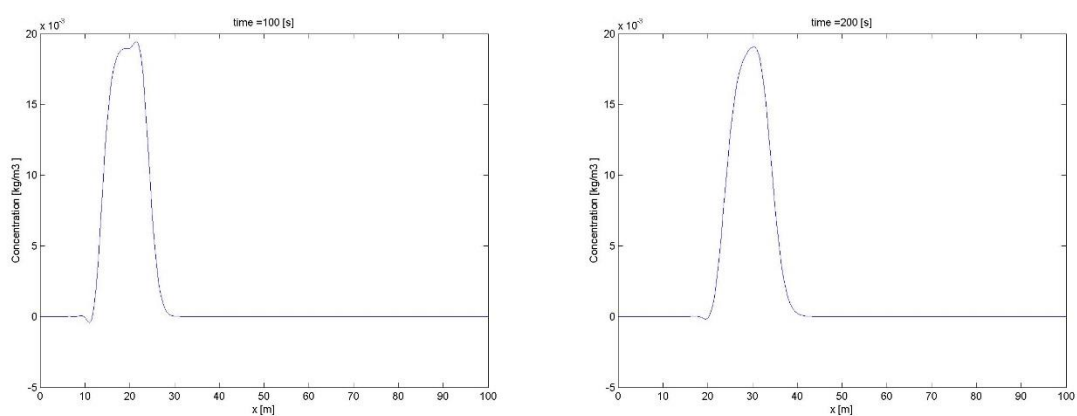
Drugą symulację przeprowadziłem przy punktowym warunku początkowym:

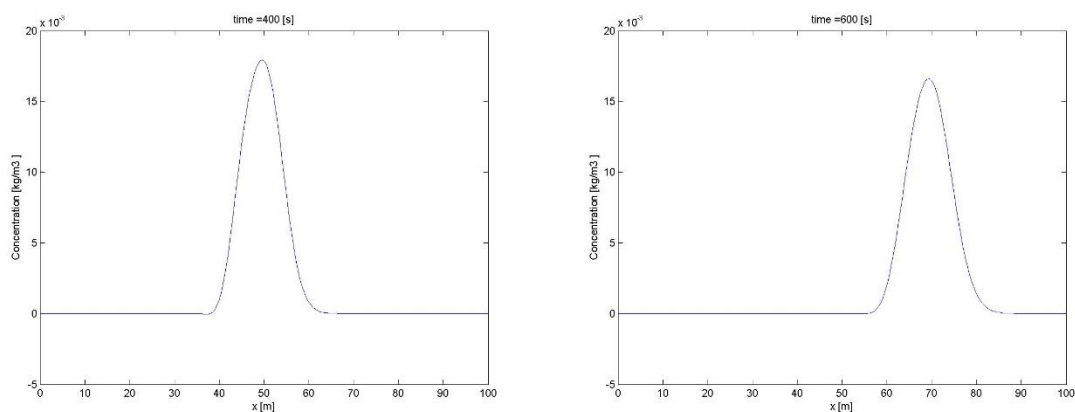
$$c(x, 0) = \begin{cases} C_2 & \text{dla } x \in [5, 15] \\ 0 & \text{dla } x \notin [5, 15] \end{cases}$$

Wprowadzone stężenie  $C_2$  ma także wartość odpowiadającą wprowadzeniu masy  $m = 1 \text{ kg}$  znacznika. Uzyskane symulacje ewolucji stężenia znacznika przy użyciu obu metod dla wybranych punktów czasowych zostały przedstawione poniżej:



Wykres 3. Rozkład stężenia znacznika dla wybranych punktów czasowych uzyskany metodą QUICKEST



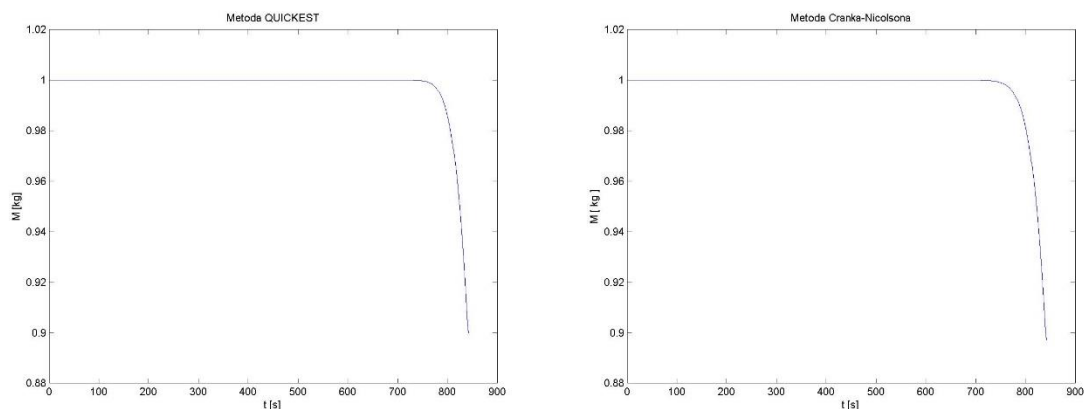


Wykres 4. Rozkład stężenia znacznika dla wybranych punktów czasowych uzyskany metodą Cranka-Nicolsona

Dla tego przypadku obie metody także dają zgodne wyniki. Ponownie wynik uzyskany metodą Cranka-Nicolsona na początku symulacji posiada niewielkie oscylacje.

### 3. Prawo zachowania masy

W celu zbadania poprawności uzyskanych symulacji można zweryfikować prawo zachowania masy. W obu symulacjach masa wprowadzona do układu wynosi  $m = 1 \text{ kg}$  i w czasie symulacji powinna zostać zachowana aż do momentu gdy znacznik wypływa poza analizowany obszar kanału.

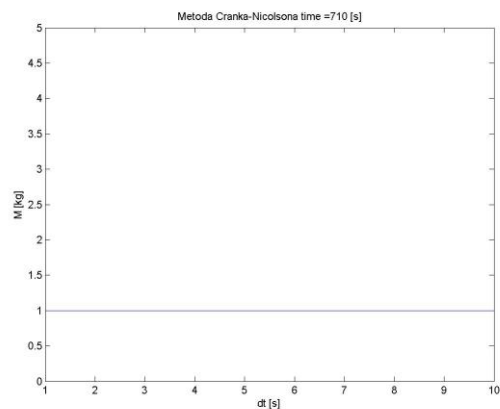
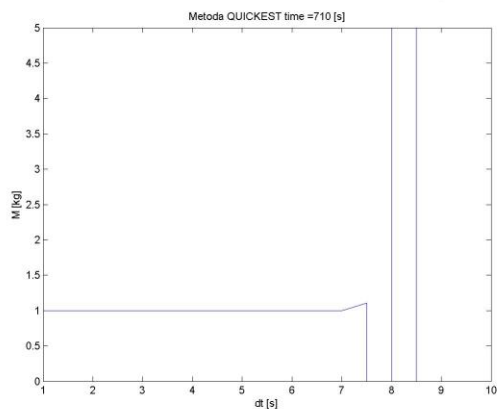


Wykres 5. Całkowita masa znacznika w funkcji czasu dla obu metod

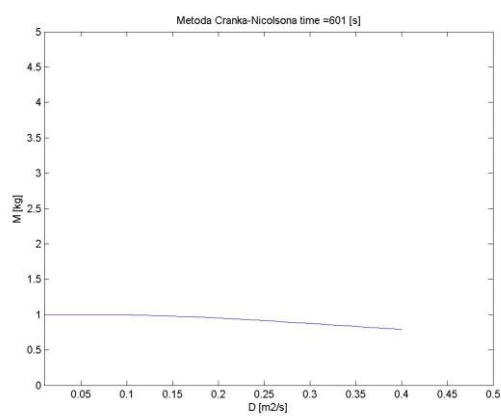
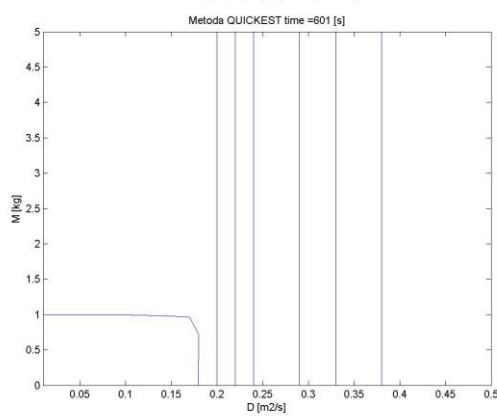
Dla obu metod masa w trakcie symulacji jest zachowana do momentu kiedy stężenie nie wypływa poza analizowany obszar. Prawo zachowania masy jest dobrym kryterium stabilności symulacji.

### 4. Stabilność numeryczna

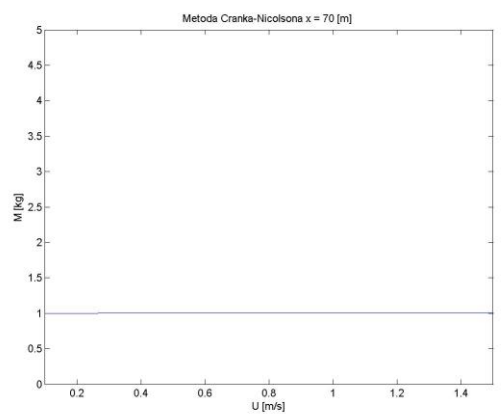
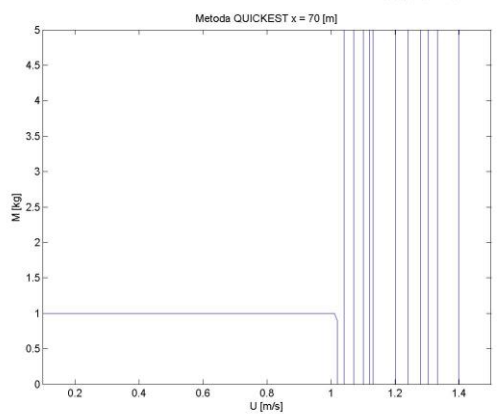
W następnej kolejności zbadam stabilność numeryczną obu metod w zależności od parametrów  $U$ ,  $D$  oraz  $\Delta t$ . Jako czynnik determinujący stabilność obliczeń przyjąłem prawo zachowania masy. Analizę stabilności przeprowadziłem przy drugim warunku początkowym. Uzyskane wykresy stabilności przedstawione są poniżej:



Wykres 6. Stabilność masy znacznika w funkcji kroku czasowego obliczeń dla obu metod po czasie 710 s symulacji



Wykres 7. Stabilność masy znacznika w funkcji współczynnika dyspersji dla obu metod po czasie 600 s symulacji



Wykres 8. Stabilność masy znacznika w funkcji prędkości średniej dla obu metod w punkcie  $x = 70$  m

Na powyższych wykresach widać zaletę metody Cranka-Nicolsona nad metodą QUICKEST. Metoda jawna posiada ograniczenia na wartości parametrów  $U$ ,  $D$  oraz  $dt$  podczas gdy metoda niejawną jest stabilna niezależnie od wartości tych parametrów. Masa na wykresie 7 dla metody Cranka-Nicolsona nieznacznie maleje, wynika to z faktu że przy rosnącej dyspersji część znacznika zaczyna uciekać poza analizowany obszar, nie ma to związku z destabilizacją symulacji.

## 5. Podsumowanie

Wykonałem symulację transportu znacznika w kanale przy użyciu dwóch metod QUICKEST oraz Cranka-Nicolsona. Zbadałem ewolucję rozkładu znacznika w czasie dla dwóch różnych stanów początkowych. Przeprowadziłem analizę prawa zachowania masy dla wykonanych symulacji. Na podstawie prawa zachowania masy zbadałem stabilność numeryczną obu metod pod względem trzech parametrów wejściowych  $U, D$  oraz  $dt$ . Metoda Cranka-Nicolsona okazała się być stabilna w całym zakresie badanych wartości podczas gdy metoda QUICKEST posiada parametry krytyczne powyżej których rozwiązanie jest niestabilne.